

Электрические переходы (контактные явления).

Электрическим переходом называется переходной слой между областями твёрдого тела с различными типами или величинами электропроводности.

Виды электрических переходов:

1. "р-п" переходы или электронно-дырочные. В основе этих переходов - контакт двух ПП - такие переходы применяются наиболее широко. В этих переходах создаются области с разной степенью проводимости но с общей границей между ними. Технологически переходы и разная проводимость полупроводников создаются путём применения различных приёмов:

легирование – контролируемое введение примесей путём диффузии атомов примесей при высокой температуре,

- ионное внедрение примесей – путем бомбардировки ионами примесей ускоренных в электрическом поле,

- сплавление металла с примесями в полупроводник.

эпитаксия - наращивание на поверхность кристалла являющегося подложкой – тонкой пленки полупроводника с противоположным типом проводимости,

гетероэпитаксия - формирование гетеропереходов т.е. переходов между различными полупроводниками отличающимися между собой шириной запрещённой зоны.

Переходы р-п типа: р-п - симметричный переход, т.е. переход между полупроводниками с одинаковым количеством примесей

$p^+ - n$ - переход - значок "+" означает повышенную концентрацию акцепторов

$p - n^+$ - переход - значок "+" означает повышенную концентрацию доноров – эти

два типа переходов называются несимметричными.

$p^{++} - n^{++}$ - переход между вырожденными полупроводниками ($N \geq 10^{19} \text{ см}^{-3}$);

$p-i-n$ – структура: акцепторный – собственный – донорный полупроводники

(этот тип перехода используется в диодах работающих на СВЧ),

$p^+ - p$; $n^+ - n$ - переходы с разными величинами электропроводности или гомопе-

реходы: т.е. переходы между полупроводниками с одинаковыми типами электропроводности но с различной шириной запрещённой зоны.

Гетеропереходы – это контакт двух полупроводников с различной шириной запрещённой зоны – например: AlGaAs -GaAs; GaAsP-GaP. Возможны переходы как между полупроводниками р- и п- типа так и между $p^+ - p$ или $n^+ - n$.

Переходы МДП: металл-диэлектрик-полупроводник или МОП - металл - окисел -ПП.

Переходы металл-ПП: М – i - металл - собственный ПП

М – р - металл - акцепторный ПП

М – п - металл – донорный ПП

Технология изготовления таких переходов: вакуумное напыление тонкой металлической плёнки на тщательно очищенную поверхность ПП.

Электронно-дырочный переход в равновесном состоянии.

Рассмотрим симметричный (самый простой) р-п переход. Будем считать, что в месте контакта кристаллическая структура не нарушена, р и п области разделены плоскостью называемой – металлургическая граница.

Исходные данные: 1. внешнее напряжение на переходе равно нулю.

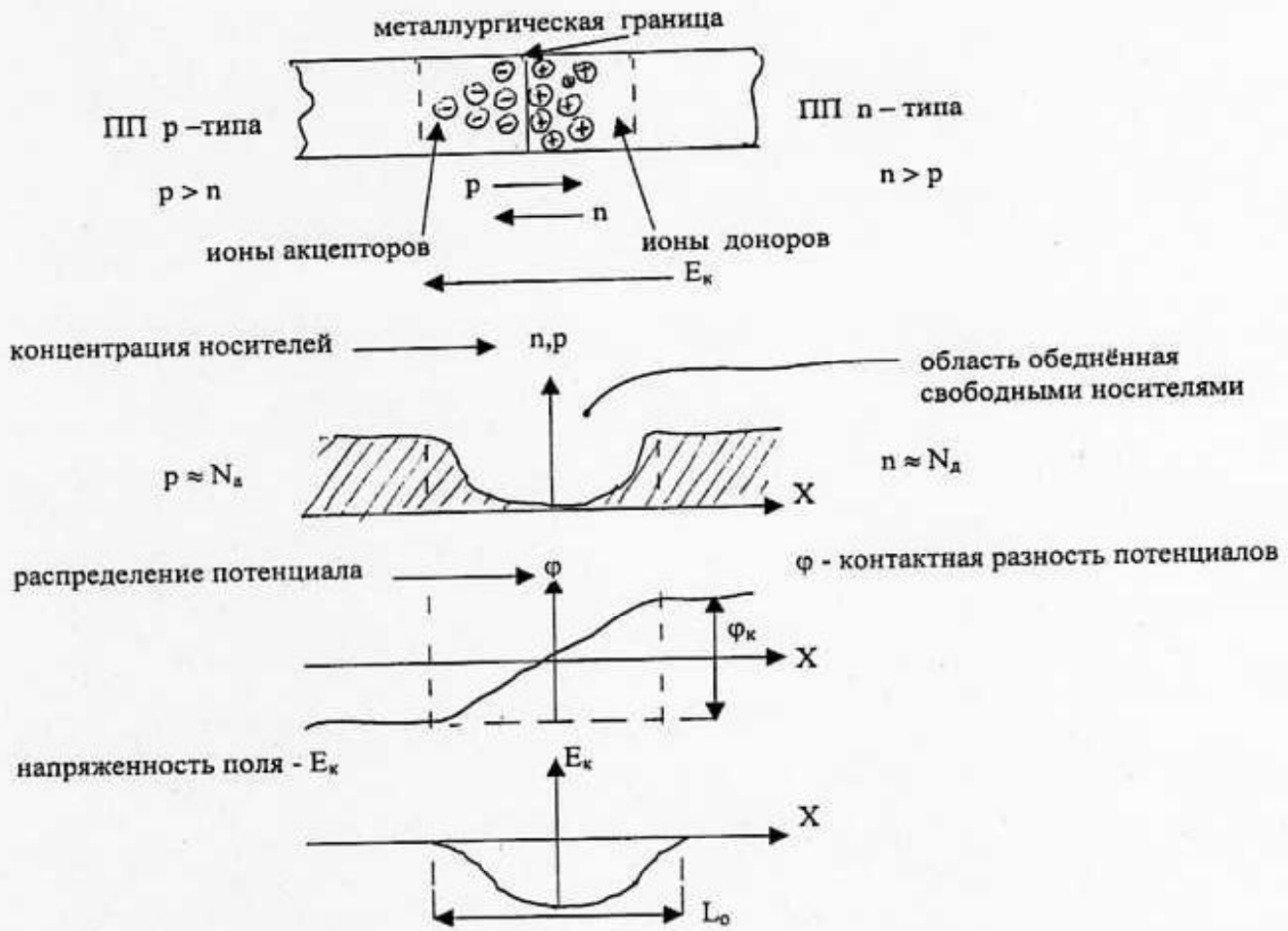
2. температура = 300°K (средняя рабочая температура);

3. концентрация атомов акцепторов примерно равна концентрации атомов доноров $N_a \approx N_d$ т.е. переход симметричный;

4. выполняется условие электронейтральности: положительный заряд в р – области равен отрицательному заряду в п – области, т.е. в р – области: $(+)p_p =$

$(-) (P_p + N_a)$, а в п – области $(-)n_n = (+) (P_n + N_d)$, где P_p - концентрация электронов в р области, а P_n – концентрация дырок в п области; N_a и N_d – концентрации примесей акцепторов и доноров.

5. в полупроводнике преобладает примесная проводимость т.е. $n_n \gg p_n$ и $p_p \gg n_p$ - т.е. электронов в n -области больше чем дырок в n -области и наоборот - дырок в p -области больше чем электронов в p -области.



с ростом концентрации примесей толщина перехода уменьшается, а напряженность поля увеличивается.

- Процессы:**
1. Сразу после образования контакта между полупроводниками – начинается диффузия дырок в n -область и электронов в p -область.
 2. В n -области дырки рекомбинируют с электронами, а в p -области электроны рекомбинируют с дырками – в результате в областях прилегающих к металлургической границе исчезают свободные носители, и образуется область L_0 – область, обеднённая свободными носителями или **обеднённая область**.
 3. В p -области обнажаются отрицательно заряженные ионы акцепторов, а в n -области обнажаются положительно заряженные ионы доноров – эти ионы находятся **неподвижно (!)** в кристаллической решетке полупроводника.
 2. Между областью с положительно заряженными донорами и областью с отрицательно заряженными акцепторами возникает контактная разность потенциалов - ϕ_k .
 3. При появлении - ϕ_k - появляется и соответствующее ему электрическое поле E , направленное от области с положительно заряженными донорами к области с отрицательно заряженными акцепторами. Это поле достигает максимального значения у металлургической границы.
 6. Поле вызывает дрейфовое движение дырок в p -области *от* перехода и электронов в n -области также *от* перехода. Таким образом, диффузионное движение свободных носителей (см. п.1) уравнивается дрейфовым движением. При этом говорят, что $p-n$ переход находится в **равновесном состоянии**.

Параметры p – n перехода в равновесном состоянии.

1. Контактная разность потенциалов для рабочего диапазона температур - ΔT , когда ионизирована вся примесь – т.е. $n \approx N_d$ и $p \approx N_a$.
 N_a - концентрация атомов акцепторов
 N_d - концентрация атомов доноров

$$\varphi_k = (kT/q) \cdot \ln(p_p/p_n) = (kT/q) \cdot \ln(n_n/n_p) = (kT/q) \cdot \ln(N_a \cdot N_d / n^2_i)$$

$n^2_i = n \cdot p$ - концентрация свободных носителей "n" и "p" в чистом (собственном) полупроводнике
 p_p - концентрация дырок в "p" полупроводнике; n_p - концентрация электронов в "p" полупроводнике
 p_n - концентрация дырок в "n" полупроводнике; n_n - концентрация электронов в "n" полупроводнике
 T - температура; k - постоянная Больцмана; q - заряд.

φ_k - в вольтах при 300° K для Ge $\approx 0,4$; для Si $\approx 0,7$; для GaAs $\approx 1,2$.

2. Толщина обеднённого слоя:
$$L_o = \sqrt{\frac{2\epsilon\epsilon_o\varphi_k(N_a + N_d)}{qN_a \cdot N_d}}$$

ϵ - диэлектрическая проницаемость полупроводника; ϵ_o - диэлектрическая проницаемость вакуума.

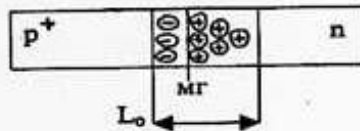
3. Ёмкость перехода: $C_6 = \epsilon\epsilon_o S / L_o$.

S - площадь перехода

L_o - толщина обеднённого слоя

"p-n" – переход может быть представлен как конденсатор с двумя заряженными обкладками – при этом образуется барьерная ёмкость перехода. C_6 – зависит от концентрации примесей N_a и N_d . При увеличении концентрации примесей толщина обеднённого слоя уменьшается, а величина барьерной ёмкости увеличивается.

Если же переход несимметричный т.е. $N_a \gg N_d$, то
$$L_o = \sqrt{\frac{2\epsilon\epsilon_o\varphi_k}{q \cdot N_d}}$$



- переход несимметричный - при этом больший обеднённый слой расположен в области с меньшей концентрацией примеси.

Неравновесное состояние перехода.

Если к "p-n" переходу подключить источник напряжения – то равновесное состояние перехода нарушается, в цепи потечёт ток – такое состояние перехода называется **неравновесным**.

Комментарии к диаграмме:

1. Первый рисунок (1) - переход находится в равновесии, т.е. к нему не приложено внешнее напряжение. Разность энергий электронов у дна зоны проводимости в левой и правой частях диаграммы - ($E_{np} - E_{nn}$) - равна высоте энергетического барьера $\Delta E_6 = q\varphi_k$ соответствующего потенциальному барьеру φ_k . Потенциальный барьер существует только для основных носителей движущихся к переходу. Так электрон (1) с небольшой энергией не может проникнуть в область "p" и выталкивается электрическим полем из "p-n" перехода. То же самое касается и дырки (2). Перейти в противоположную область могут только те основные носители – электроны (3) и дырки (4) энергия которых достаточна для преодоления барьера.

В отличии от этого для не основных носителей барьера нет, а электрическое поле является ускоряющим. Неосновные носители электроны (5) и дырки (6) захватываются полем перехода и переносятся в противоположную область.

Для невырожденных полупроводников ($N_{np} < 10^{19} \text{ см}^{-3}$) и рабочего диапазона температур когда количество свободных носителей примерно равно количеству атомов примеси ($n \approx N_d$) высота потенциального (энергетического) барьера:

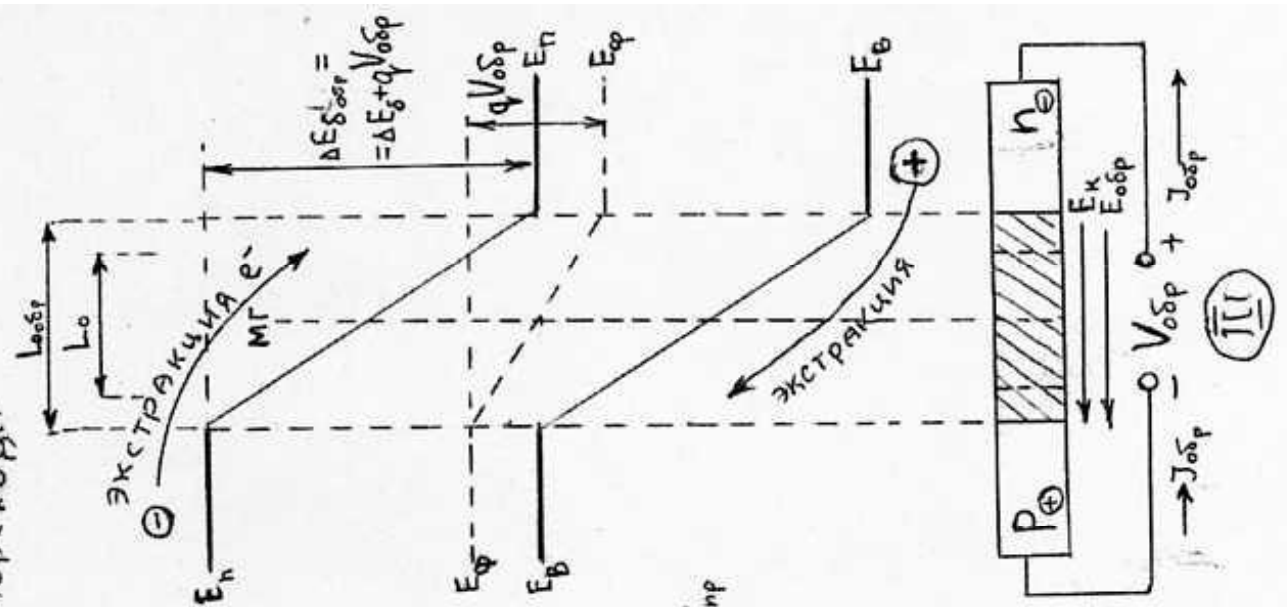
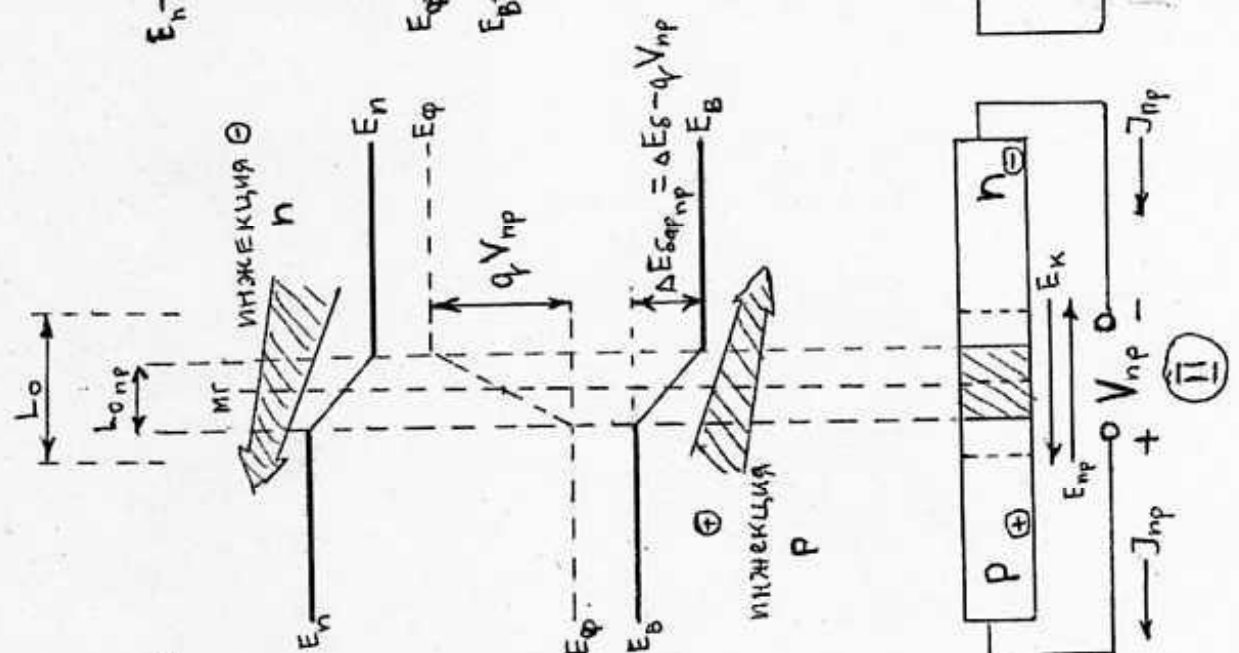
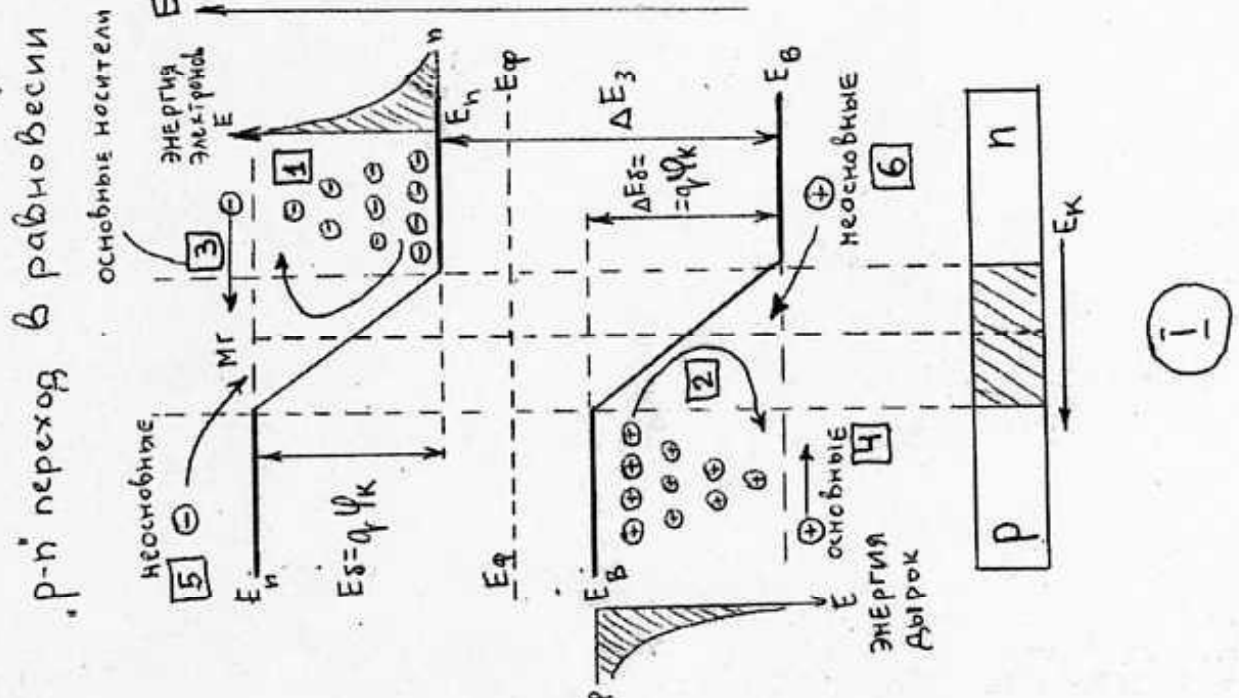
$$\Delta E_6 = \Delta E_3 - kT \cdot \ln[(N_n \cdot N_a) / (N_a \cdot N_d)]$$

N_n и N_a - концентрации разрешенных энергетических состояний в полосе энергий kT .

Видно, что высота потенциального барьера прямо пропорциональна ширине запрещенной зоны, уменьшается с ростом температуры и слабо возрастает при увеличении концентрации примесей.

2. Второй рисунок (11) - неравновесное состояние перехода при прямом смещении.

Энергетическая диаграмма "p-n" перехода



Если к "р-п" переходу подключить источник напряжения, то равновесное состояние нарушается и в цепи потечет ток. Под действием этого внешнего напряжения изменяется высота потенциального барьера $\phi = \phi_0 - V_{пр}$. Внешнее напряжение $V_{пр}$ прикладывается непосредственно к "р-п" переходу т.к. сопротивление перехода $R_{пер}$ существенно меньше сопротивления нейтральных областей: $R_{пер} \gg R_p$ и R_n .

Электрическое поле $E_{пр} \approx V_{пр}/L_0$ вычитается из поля перехода E_k – напряжение поля перехода при этом уменьшается. Дрейфовая компонента тока равновесия уменьшается, а растёт диффузионная составляющая и переход (т.е. обеднённая область) сужается до $L_{прям}$.

Уменьшается энергетический барьер $\Delta E_{б\ прям} = \Delta E_b - q \cdot V_{пр}$ и возникает инжекция основных носителей (поток электронов и дырок) через переход образуя прямой ток $I_{прям}$.

При несимметричном переходе когда $N_d \gg N_a$ происходит односторонняя инжекция электронов

$N_d \ll N_a$ происходит односторонняя инжекция дырок.

3. Третий рисунок (111) – неравновесное состояние перехода при обратном смещении.

Обратное напряжение прикладывается так же непосредственно к переходу.

Поле $E_{обр}$ суммируется с полем E_k , дрейфовая компонента равновесия увеличивается, диффузия уменьшается и переход (т.е. обеднённая область) расширяется до $L_{обр}$.

Увеличивается энергетический барьер $\Delta E_{б\ обр} = \Delta E_b + q V_{обр}$, тем самым ещё больше препятствуя переходу основных носителей.

Увеличивается вытягивание – экстракция из областей р и п – неосновных носителей.

Вольтамперная характеристика (ВАХ) идеализированного р-п перехода.

Идеализированный переход представляет собой упрощенную модель р-п перехода. Условия идеализации следующие: 1. В обеднённом слое нет генерации, рекомбинации и рассеяния носителей поэтому при прямом смещении ток рекомбинации носителей не учитывается и считается, что объёмное сопротивление областей р и п тождественно равно нулю. 2. Полагают, что носители проходят обеднённый слой мгновенно. 3. При обратном смещении не учитывается ток термогенерации в обеднённом слое. Не учитываются явления туннельного перехода носителей между р и п областями, а так же явление ударной ионизации (туннельный и лавинный пробой). 4. Считается, что электрическое поле E_k есть только в р-п переходе, а в областях р и п поле E_k тождественно равно нулю $E_k \equiv 0$, т.е. всё приложенное напряжение падает на переходе. 5. Границы перехода являются плоскими, носители движутся только в направлении перпендикулярном этим границам, краевые эффекты не учитываются.

При этих условиях справедливо выражение для ВАХ:

$$I = I_0 [\exp(V/\phi_t) - 1]$$

$\phi_t = kT/q$ – разность потенциалов при температуре T или тепловой потенциал.

I_0 – обратный ток р-п перехода или тепловой – так как он сильно зависит от температуры и определяется параметрами неосновных свободных носителей.

$$I_0 = qS(l_p \cdot p_n / \tau_p + l_n \cdot n_p / \tau_n) = qS n_i^2 (l_p / \tau_p N_d + l_n / \tau_n N_a)$$

l_p и l_n – длины свободного пробега соответственно дырки и электрона,

τ_p и τ_n – время жизни дырок в "n"- и электронов в "p"- областях,

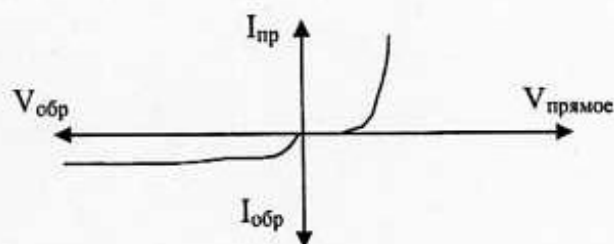
p_n, n_p – концентрации неосновных носителей,

$n_i^2 = n \cdot p$ – концентрация свободных носителей "n" и "p" в чистом полупроводнике,

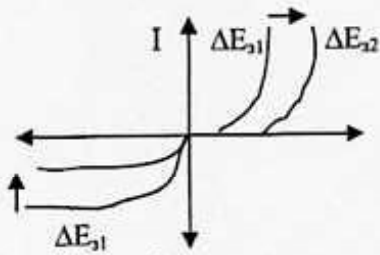
S – площадь р-п перехода

V – напряжение на внешних выводах - $V = \phi_t \ln[(I + I_0)/I_0]$

ВАХ идеализированного перехода:

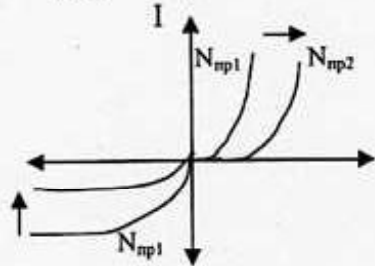


Зависимости идеализированной ВАХ от ΔE_3 ; $N_{\text{примеси}}$ и T^0 .



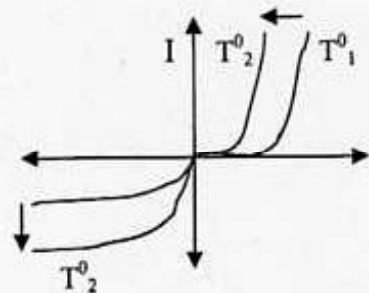
$$\Delta E_{32} \gg \Delta E_{31}$$

- чем больше ширина запрещённой зоны ΔE_3 - тем больше барьер ΔE_6 , и тем нужно большее $V_{\text{пр}}$, чтобы пошел прямой ток $I_{\text{пр}}$
- чем больше ΔE_3 , тем меньше тепловой ток I_0 (труднее идет процесс термогенерации).



$$N_{\text{пр}2} \gg N_{\text{пр}1}$$

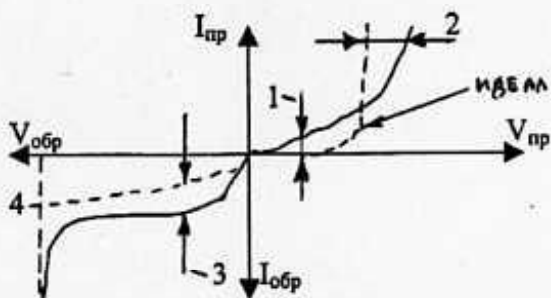
- чем больше концентрация атомов примесей $N_{\text{пр}}$ (N_a и N_d) - тем больше энергетический барьер ΔE_6 и необходимо большее прямое напряжение $V_{\text{пр}}$, чтобы пошел прямой ток $I_{\text{пр}}$,
- чем больше примесей $N_{\text{пр}}$ - тем меньше I_0 .



$$T_2^0 \gg T_1^0$$

- чем больше температура T^0 - тем меньше ширина энергетического барьера ΔE_6 ,
- чем больше T^0 - тем больше собственных носителей n_i (т.е. больше I_0) и больше прямой ток $I_{\text{пр}}$ за счёт роста концентрации неосновных носителей.

Вольтамперная характеристика реального p-n перехода

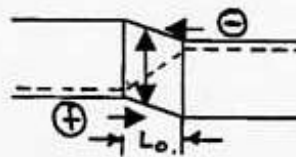


← ВАХ реального p-n перехода.

Отличия реального перехода от идеального:

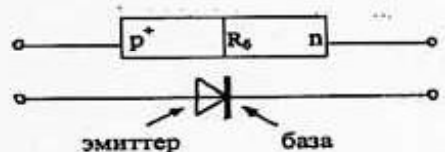
1-я область ВАХ - при прямом смещении появляется явление рекомбинации дырок и электронов в обеднённом слое, что приводит к появлению паразитного тока рекомбинации

$$I_{\text{пр}} = I_{\text{рек}} + I$$



2-я область ВАХ - в реальном несимметричном p⁺-n переходе объёмное сопротивление области базы значительно больше объёмного сопротивления области эмиттера $R_6 \gg R_3$, т.к. $N_d \ll N_a$ и при прямом смещении $V_{\text{пр}}$ часть напряжения падает на R_6 .

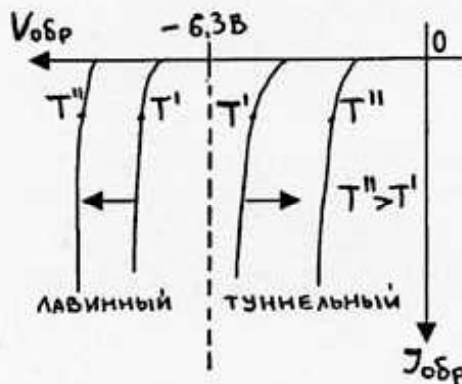
$$V = \underbrace{\varphi_t \ln[(I+I_0)/I_0]}_{\text{падение на переходе}} + \underbrace{I R_6}_{\text{падение на сопротивлении } R_6}$$



3 -я область ВАХ - в реальном переходе при обратном смещении $V_{обр}$ в обеднённом слое идёт процесс термогенерации электронно-дырочных пар. Ток генерации I_r добавляется к току неосновных носителей I_0 и увеличивает его.

$$I_{обр} = I_0 + I_r$$

4 -я область ВАХ - в реальном переходе происходит пробой этого перехода при достижении обратным напряжением величины напряжения пробоя. Пробоев бывает три типа:



1. Лавинный пробой - этот тип пробоя возникает при ударной ионизации атомов полупроводника свободными электронами в сильном электрическом поле. При достижении обратным напряжением величины напряжения пробоя в обеднённом слое неосновные носители (процесс экстракции) приобретают кинетическую энергию достаточную для ионизации нейтральных атомов при условии, что ширина обеднённого слоя будет больше длины свободного пробега носителей и при малых концентрациях примеси: $L_{0обр} > L_{св.пробега}$.

2. Туннельный пробой - этот тип пробоя вызван туннельным переходом носителей через потенциальный барьер. При $V_{обр} = V_{проб}$ и высокой концентрации примеси ($> 10^{18} \text{ см}^{-3}$) толщина барьера уменьшается (до $\approx 10 \text{ нм}$) и возникает возможность перехода барьера электронами без изменения их энергии.

3. Тепловой пробой - этот тип пробоя возникает при $V_{обр} = V_{проб}$ и протекании тока (лавинного или туннельного), при этом кристалл разогревается, ещё более возрастает ток за счёт I_0 и при условии превышения мощности рассеяния тепла - допустимой мощности - переход разрушается - этот тип пробоя - необратимый (переход сгорает).

Ёмкость p-n перехода.

При прямом и обратном смещении p^+-n переход имеет ёмкостную реакцию на приложенное напряжение. Ёмкость $C = \frac{dQ}{dV}$ - характеризует изменение величины зарядов при изменении напряжения. Ёмкостная реакция p^+-n перехода обусловлена двумя типами зарядов (формулы приведены для несимметричного p^+-n перехода):

1. объёмными зарядами примеси в обеднённом слое - барьерная ёмкость $C_{бар}$:

$$C_{бар} = \frac{dQ_{бар}}{dV} = \frac{\epsilon \epsilon_0 S}{L_0 (V)} = S \sqrt{\frac{q \epsilon \epsilon_0 N_d}{2 (\phi_k - V)}}$$

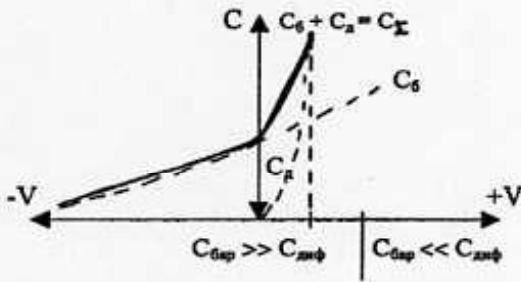
S - площадь перехода; ϵ, ϵ_0 - диэлектрическая проницаемость; L_0 - толщина обеднённого слоя (зависит от напряжения); $Q_{бар}$ - величина барьерного заряда; V - напряжение; N_d - концентрация примесей; ϕ_k - контактная разность потенциалов.

2. зарядами неосновных носителей (т.к. напряжение прямого смещения их тормозит) в областях p и n близких к переходу при прямом смещении - диффузионная ёмкость:

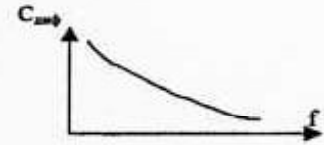
$$C_{диф} = dQ_p / dV \approx \tau_p I_{пр} / \phi_1$$

Q_p - заряды p накопленные в базе; τ_p - эффективное время жизни носителя в базе или время рекомбинации; $I_{пр}$ - ток инжекции; ϕ_1 - тепловой потенциал ($= kT/q$).

График зависимости ёмкостей от напряжения:



С ростом частоты f дифференциальная ёмкость $C_{диф}$ падает до нуля так как для диффузии неосновных носителей через базу необходимо время $\tau_{эфф}$, и в течение малопериода $T \ll T_{эфф}$ – заряд не успевает измениться.



Эквивалентная схема p-n перехода:



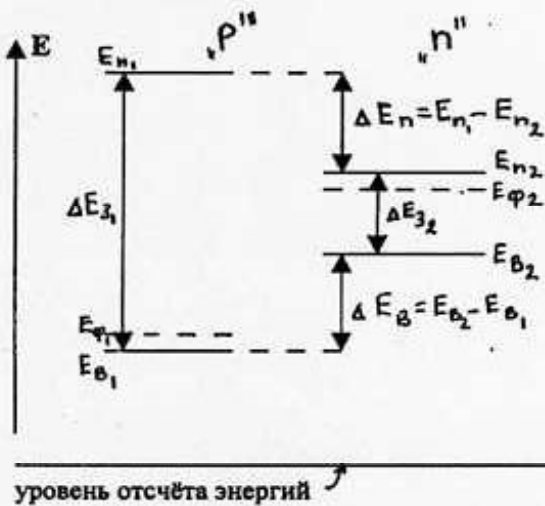
Гетеропереходы.

Гетеропереходы – это переходы между различными полупроводниками, отличающимися шириной запрещённой зоны. Например: переходы Ge – Si; Ge – As; GaAs – GaP и другие можно получить при соблюдении следующих условий:

1. полупроводники (ПП) должны иметь одинаковые кристаллические структуры;
2. ПП должны иметь близкие значения *постоянной* кристаллической решетки;
3. на границе раздела решетки должен быть минимум дефектов.

На практике используют переходы на родственных ПП: GaAlAs-GaAl; GaAsP-GaP и другие.

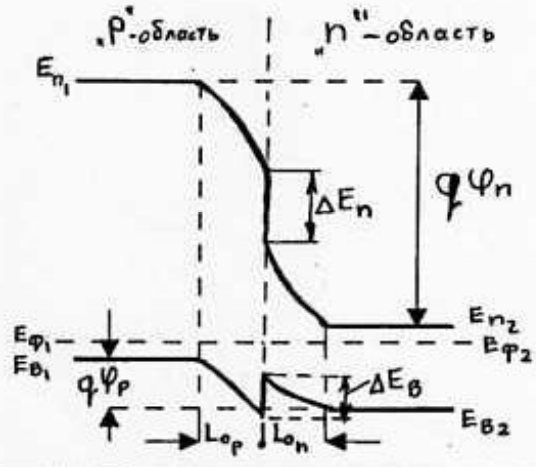
Исходные энергетические диаграммы перехода GaAlAs-GaAl при одинаковом уровне начала отсчета E



уровень отсчёта энергий

$\phi_k = (E_{\phi 2} - E_{\phi 1})/q$ - для изолированных полупроводников т.е. неконтактирующих между собой

После образования контакта диаграмма приобретает вид:

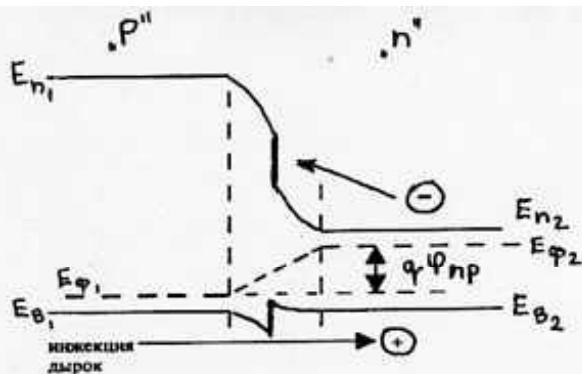


на металлургической границе МГ образуются разрывы зон ΔE_n и ΔE_B и видно, что энергетические барьеры для электронов и дырок разные:

$$q\phi_n = q\phi_k + \Delta E_n$$

$$q\phi_p = q\phi_k - \Delta E_B$$

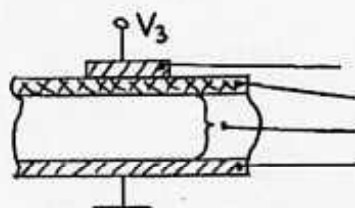
т.е. $q\phi_n > q\phi_p$



При прямом смещении гетероперехода условия для инжекции дырок и электронов будут разные. При смещении $V_{np} = V_p$ - валентные зоны E_{v1} и E_{v2} находятся на одном уровне, идёт инжекция дырок, а для электронов остаётся энергетический барьер $q(\phi_n - V_{np})$.

При сильном прямом смещении появляется и инжекция электронов, и гетеропереход теряет свои полезные свойства, т.е. он работает только при малых токах инжекции.

Переходы – МДП (металл-диэлектрик-полупроводник) или МОП (металл-окисел SiO₂-полупроводник)

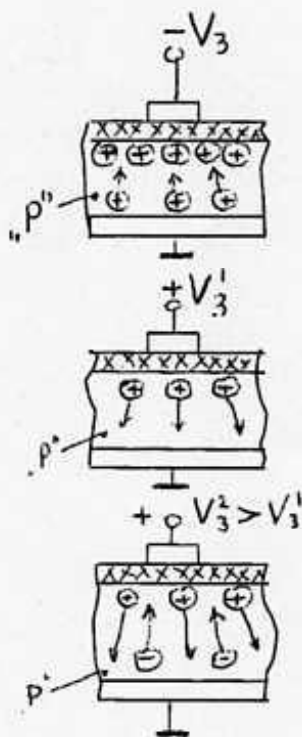


металлический электрод – затвор.
 слой диэлектрика или окисла толщиной $d - 0,03-0,1\mu\text{м}$.
 полупроводниковый кристалл – “подложка”
 вывод от полупроводника – омический контакт.

Структура имеет два вывода и является по существу МДП конденсатором, ёмкость которого зависит от напряжения между затвором и выводом подложки - V_3 .

Принцип действия МДП структуры.

Напряжение на затворе V_3 создаёт в приповерхностном слое полупроводника электрическое поле, изменяющее концентрацию носителей в этом слое. В зависимости от величины и полярности приложенного напряжения в полупроводнике могут возникать три режима работы МДП структуры:



Режим обогащения.

При отрицательном напряжении на затворе ($-V_3$) образующееся поле притягивает дополнительные дырки и в подзатворной области $p > N_a$. (концентрация основных носителей увеличивается и становится больше концентрации атомов акцепторов).

Режим обеднения.

При положительном напряжении на затворе ($+V_3$) образующееся поле выталкивает дырки и в подзатворной области $p < N_a$ (концентрация основных носителей уменьшается).

Режим инверсии.

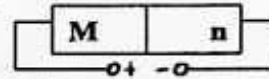
При большом положительном напряжении на затворе ($+V_3^2 > +V_3^1$) поле выталкивает все основные носители - дырки, а в подзатворную область притягиваются неосновные (для полупроводника p - типа) носители – электроны. Когда концентрация неосновных носителей становится больше концентрации основных $n > p$ – инверсия проводимости, т.е. проводимость меняется с преимущественно дырочной на преимущественно электронную.

Переходы металл – полупроводник (переходы Шотки)

Математические соотношения для контактов металл-ПП получены немецким ученым Шотки, именем которого и назван потенциальный барьер между металлом и полупроводником.

Особенностью барьера Шотки, является отсутствие инжекции неосновных носителей.

При прямом смещении перехода М-п электроны из полупроводника переходят в металл, создавая ток во внешней цепи.



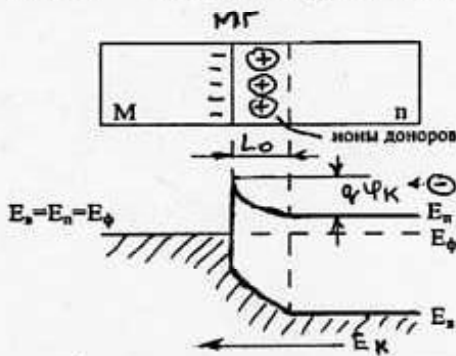
В диодах Шотки нет процесса рекомбинации носителей, что приводит к существенному расширению частотного диапазона применения диодов вплоть до субмиллиметровых волн.

Переходы М-ПП делятся на **выпрямляющие**, у которых обязательно наличие обеднённого слоя и на **не выпрямляющие** или **омические** – эти переходы применяются для вывода сигнала от полупроводника (т.е. для улучшения контакта и увеличения площади между выводом и полупроводником).

Выпрямляющие переходы. Условие образования обеднённого слоя: для полупроводников п-типа - работа выхода электрона из полупроводника меньше работы выхода из металла $A_{пп} < A_M$ при этом электроны переходят в металл, а для р-типа $A_{пп} > A_M$, где A – работа выхода

Переход похож на несимметричный р⁺-п переход.

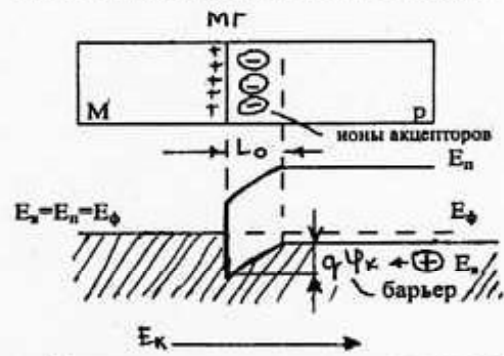
$A_{пп} < A_M$ - электроны переходят в металл



ϕ_κ - (контактная разность потенциалов) образуется между положительно заряженными ионами доноров и избыточным зарядом электронов в металле.

Переход похож на несимметричный п⁺-р переход.

$A_{пп} > A_M$ электроны переходят в полупроводник



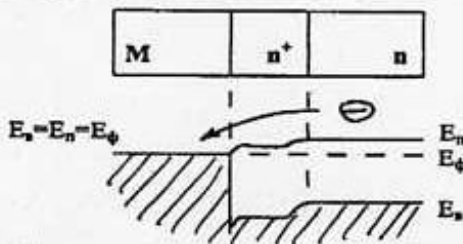
ϕ_κ - образуется между положительно заряженной областью у поверхности металла и отрицательно заряженными ионами акцепторов.

Контактная разность потенциалов определяется разностью работ выхода электронов: $\phi_\kappa = (A_M - A_{пп})/q$. Для переходов применяемых на практике $\phi_\kappa = 0,3 \div 0,9$ В. Приложенное к переходу прямое напряжение $V_{пр}$ вычитается из напряжения контактной разности потенциалов ϕ_κ , а обратное напряжение $V_{обр}$ складывается с напряжением ϕ_κ . При прямом смещении $V_{пр}$ идёт инжекция только основных носителей из полупроводника.

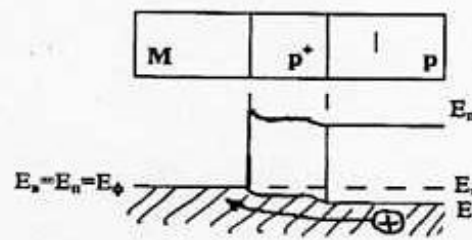
Невыпрямляющие (омические) переходы. Условия образования омического контакта:

- для полупроводников п типа $A_{пп} > A_M$
- для полупроводников р типа $A_{пп} < A_M$

При соблюдении этих условий усиливается концентрация основных носителей в области контакта металла и полупроводника. На практике, для уменьшения сопротивления контакта, часто используют переходы типов: М - п⁺-п и М - р⁺-р.



$A_M < A_{пп}$ - основные носители электроны



$A_M > A_{пп}$ - основные носители дырки